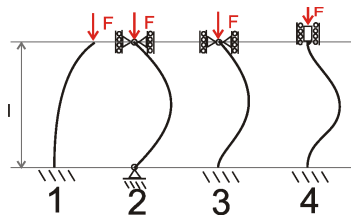


Pruty namáhané na vzpěr

Martin Fišer

- ▶ Úvod
- ▶ Eulerova teorie namáhání prutů na vzpěr



- ▶ První případ vzpěru [zde](#)
- ▶ Druhý případ vzpěru [zde](#)
- ▶ Třetí případ vzpěru [zde](#)
- ▶ Čtvrtý případ vzpěru [zde](#)
- ▶ Shrnutí vzorců potřebných pro výpočet Eulerovy teorie [zde](#)
- ▶ Tetmayerova teorie namáhání prutů na vzpěr [zde](#)
- ▶ Dimenzování [zde](#)

V následujícím textu se budeme zabývat problematikou prutů namáhaných na vzpěr. Budou zmíněny dvě teorie (Eulerova a Tetmayerova) pro výpočet kritické síly, popřípadě kritického napětí. Tyto teorie platí v různých oblastech rozdělených dle mezního štíhlostního poměru, definovaného dále v textu.

Návrat na [obsah](#).

Eulerova teorie-první případ vzpěru



Obrázek: Zatížený prut

Vztah pro kritickou sílu F_{krit} v prvním případě vzpěru je

$$F_{krit} = \frac{\pi^2 EJ}{4l^2}. \quad (1)$$



Obrázek: Zatížený prut

Vztah pro kritickou sílu F_{krit} v prvním případě vzpěru je

$$F_{krit} = \frac{\pi^2 EJ}{4l^2}. \quad (1)$$

Dimenzování provedeme **takto**.

Návrat na **obsah**

Eulerova teorie-druhý případ vzpěru



Obrázek: Zatížený prut

Vztah pro kritickou sílu F_{krit} ve druhém případě zpěru je

$$F_{krit} = \frac{\pi^2 EJ}{l^2} \quad (2)$$

Eulerova teorie-druhý případ vzpěru



Obrázek: Zatížený prut

Vztah pro kritickou sílu F_{krit} ve druhém případě zpěru je

$$F_{krit} = \frac{\pi^2 EJ}{l^2} \quad (2)$$

Dimenzování provedeme **takto**.

Návrat na **obsah**



Eulerova teorie-třetí případ vzpěru



Obrázek: Zatížený prut

Pro třetí případ je kritická síla

$$F_{krit} = \frac{2\pi^2 EJ}{l^2}. \quad (3)$$

Eulerova teorie-třetí případ vzpěru



Obrázek: Zatížený prut

Pro třetí případ je kritická síla

$$F_{krit} = \frac{2\pi^2 EJ}{l^2}. \quad (3)$$

Dimenzování provedeme **takto**.

Návrat na **obsah**

Eulerova teorie-čtvrtý případ vzpěru



Obrázek: Zatížený prut

Pro čtvrtý případ je kritická síla

$$F_{krit} = \frac{4\pi^2 EJ}{l^2}. \quad (4)$$

Eulerova teorie-čtvrtý případ vzpěru



Obrázek: Zatížený prut

Pro čtvrtý případ je kritická síla

$$F_{krit} = \frac{4\pi^2 EJ}{l^2}. \quad (4)$$

Dimenzování provedeme **takto**.

Návrat na **obsah**



Vztahy platné pro Eulerovu teorii

Kritickou sílu lze pro jednotlivé případy vzpěru vyjádřit jako

$$F_{krit} = n \frac{\pi^2 EJ}{l^2}, \quad (5)$$

kde pro první případ vzpěru $n = \frac{1}{4}$, pro druhý $n = 1$, pro třetí $n = 2$ a pro čtvrtý $n = 4$.

Poloměr setrvačnosti i , štíhlostní poměr λ a mezný štíhlostní poměr λ_m jsou definovány následovně:

$$i = \sqrt{\frac{J}{A}}, \quad \lambda = \frac{l}{i}, \quad \lambda_m = \sqrt{n \frac{\pi^2 E}{\sigma_u}}, \quad (6)$$

kde J je minimální kvadratický moment průřezu, A je plocha průřezu, E je Youngův modul pružnosti a σ_u je mez úměrnosti materiálu.

Návrat na [obsah](#)

Vztahy platné pro Tetmayerovu teorii

Pro výpočet kritického napětí σ_{kr} (respektivě kritické síly $F_{krit} = \sigma_{kr}A$) v oblasti, kde neplatí Eulerova teorie, existuje více teorií. My si uvedeme pouze Tetmayerovu lineární závislost kritického napětí na štíhlostním poměru, tj.

$$\sigma_{kr} = \sigma_T = a - b\lambda, \quad (7)$$

kde a a b jsou materiálové konstanty a λ je štíhlostní poměr, viz vztahy (6).

Poznámka

Například pro křehké materiály je výhodnější použít kvadratickou závislost vyjádření napětí.

Návrat na [obsah](#)

Dimenzujeme s bezpečností k na zátěžnou sílu F . Zavedeme kritickou sílu $F_{krit} = kF$. Ze vztahu pro kritickou sílu, viz vztah (5), vyjádříme

$$J = \frac{kFl^2}{n\pi^2 E}. \quad (8)$$

Dimenzujeme s bezpečností k na zátěžnou sílu F . Zaved' me kritickou sílu $F_{krit} = kF$. Ze vztahu pro kritickou sílu, viz vztah (5), vyjádříme

$$J = \frac{kFl^2}{n\pi^2 E}. \quad (8)$$

Například pro obdélníkový průřez o rozměrech b , h , kde $h = 2b \Rightarrow b < h$, je

$$J = J_{min} = \frac{1}{12} b^3 h, \quad \text{po dosazení a úpravě} \quad b = \sqrt[4]{\frac{6kFl^2}{n\pi^2 E}}. \quad (9)$$

Dimenzujeme s bezpečností k na zátěžnou sílu F . Zaved' me kritickou sílu $F_{krit} = kF$. Ze vztahu pro kritickou sílu, viz vztah (5), vyjádříme

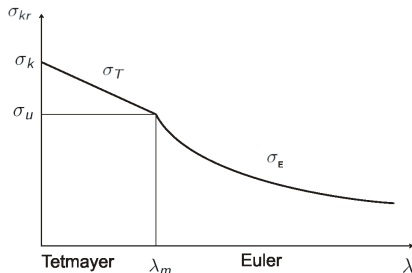
$$J = \frac{kFl^2}{n\pi^2 E}. \quad (8)$$

Například pro obdélníkový průřez o rozměrech b , h , kde $h = 2b \Rightarrow b < h$, je

$$J = J_{min} = \frac{1}{12} b^3 h, \quad \text{po dosazení a úpravě} \quad b = \sqrt[4]{\frac{6kFl^2}{n\pi^2 E}}. \quad (9)$$

Nyní musíme ověřit, zda se pohybujeme v oblasti platnosti Eulerovy teorie. Ověření provedeme následovně.

Ověření platnosti Eulerovy teorie



Obrázek: Závislost kritického napětí na štíhlostním poměru

Eulerova teorie platí pouze v určité oblasti napětí, viz obrázek. V této oblasti musí být štíhlostní poměr větší než mezní štíhlostní poměr, tj. $\lambda \geq \lambda_m$.

Mezný štíhlostní poměr je definován jako

$$\lambda_m = \sqrt{n \frac{\pi^2 E}{\sigma_u}}, \quad (10)$$

kde σ_u je napětí na mezi úměrnosti. Poloměr setrvačnosti i je

$$i = \sqrt{\frac{J}{A}}, \quad (11)$$

kde J je minimální kvadratický moment průřezu.

Pokud neplatí $\lambda \geq \lambda_m$, pak musíme dimenzovat dle Tetmayerovy teorie

$$\sigma_{kr} = \sigma_T = \frac{F_{krit}}{A} = \frac{kF}{A} = a - b\lambda, \quad (12)$$

kde a a b jsou materiálové konstanty. Pomocí tohoto vztahu dimenzujeme daný prut.

Například pro čtvercový průřez o délce hrany s , kde kvadratický moment průřezu je roven $J = \frac{1}{12}s^4$, dostáváme dosazením do (12)

$$\frac{F \cdot k}{s^2} = a - b \frac{I}{\sqrt{\frac{1}{12} \frac{s^4}{s^2}}} = a - b \frac{2\sqrt{3}I}{s}$$
$$\Downarrow$$
$$as^2 - 2\sqrt{3}bIs - Fk = 0.$$

Z této kvadratické rovnice vyjádříme s . Řešením je nejmenší reálný kladný kořen.